

УДК. 622.413

**Странченко С.Г., А.Ю. Прокопов, А.А. Богомазов**  
**ИССЛЕДОВАНИЕ ВЛИЯНИЯ ТЕМПЕРАТУРНЫХ  
КОЛЕБАНИЙ НА СОСТОЯНИЕ ЖЕСТКОЙ АРМИРОВКИ  
ВОЗДУХОПОДАЮЩИХ СТВОЛОВ**

Выполнено исследование влияния температурных колебаний и состояние жесткой армировки воздухоподающих стволов.

Ключевые слова: вечная мерзлота, температурный режим, армировка, воздухоподающие стволы.

**Семинар № 4**

---

**S.G. Stradanchenko, A.J. Prokopov,  
A.A. Bogomazov**  
**RESEARCH OF TEMPERATURE  
FLUCTUATIONS INFLUENCE ON THE  
CONDITION OF RIGID AIR FEEDING  
MINE SHAFT EQUIPMENT**

*It is executed the research of influence of temperature fluctuations and condition of rigid air feeding mine shaft equipment.*

*Key words:* permafrost, temperature mode, reinforcement, air feeding mine shafts.

**T**епловой режим вертикальных воздухоподающих стволов оказывает существенное влияние на состояние крепи и армировки, особенно в зимний период, и во многом определяет безопасность работы всего подъемного комплекса.

Согласно Правилам Безопасности [1, §27], стволы и штольни с поступающей струей воздуха должны иметь калориферные устройства, обеспечивающие поддержание температуры воздуха не менее +2°C в 5 м от сопряжения канала калорифера со стволов (штольней). Исключение составляют шахты, расположенные в зонах вечной мерзлоты, для которых устанавливается индивидуальный тепловой режим в каждом конкретном случае.

Однако, на шахтах Российского, Украинского Донбасса и других угольных бассейнов, не расположенных в зонах вечной мерзлоты, в зимний период из-за нарушений работы калориферов встречаются случаи несоблюдения температурного режима, в результате чего в стволов наблюдаются отрицательные температуры, достигающие -6°C и более [2,3]. Так, например, известны случаи обмерзания вспомогательных (клетевых) и воздухоподающих стволов до глубины 300-400 м (ГХК «Луганскуголь», ш. им. Артема – вспомогательный ствол, ш. «Ломоватская» – клетевой ствол; ПО «Артемуголь», ш. им. Румянцева – ствол №3; ГХК «Макеевуголь», ш. «Красногвардейская» – клетевой ствол; ПО «Красноармейскуголь», ш. им. Стаханова – ствол №4) [4]. Аналогичные нарушения наблюдались зимой 1995-96 гг. во вспомогательном стволе шахты им. М.П. Чиха и стволов шахты «Майская» (Российский Донбасс), где обмерзание крепи происходило до глубины 200 м.

Поверхность обмерзающей крепи интенсивно разрушается вследствие увеличения объема воды, замерзающей в породах крепи. Многократное обмерзание и оттаивание приводит к

**Экстремальные температуры воздуха, зафиксированные в воздухоподающих и вспомогательных ствалах Донбасса**

Характеристика	Значения показателя, °C, на глубине				
	0 м	20 м	100 м	350 м	700 м
Зафиксированный минимум температур <sup>1</sup> , °C	-14	-6,2	-3,6	0	4,5
Зафиксированный максимум температур <sup>2</sup> , °C	36	25,5	24,2	23,5	25,1
Амплитуда, °C	50	31,7	27,8	23,5	20,6

**Примечания.** <sup>1</sup> – аварийный тепловой режим, обмерзание ствола до глубины 350 м.

<sup>2</sup> – замеры произведены в августе 2006 г. в период аномальной жары (до +40,1°C), установившейся в Донбассе.

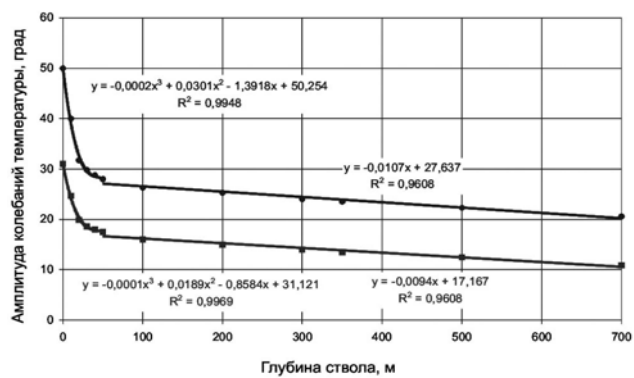
разделению растворной и шебеночной составляющих бетона и к постепенному осыпанию и утонению крепи (ш. им. Засядько – клетевой ствол №3; ГХК «Лисичанскголь», ш. «Новодружеская» – вспомогательный ствол №2) [4]. Очистка льда для сохранения зазоров между подъемными сосудами и крепью также приводит к нарушениям крепи, особенно кирпичной. Кроме того, вследствие падения льда происходит повреждение армировки на нижележащих ярусах.

Наличие отрицательных температур в стволе негативно сказывается на узлах крепления расстрелов вследствие замерзания и расширения воды в порах и трещинах материала заделки, а также из-за различия температурных коэффициентов линей-

ного расширения бетона ( $4 \cdot 10^{-6} \text{ K}^{-1}$ ) и стали ( $1,2 \cdot 10^{-5} \text{ K}^{-1}$ ).

Как показывают результаты погодных наблюдений [5], Донбасс характеризуется существенными колебаниями температуры воздуха в течение года. Сезонная амплитуда температур в некоторые годы достигала 64–69°C (1995, 2003, 2006 гг.), что существенно сказывалось на тепловом режиме воздухоподающих стволов, надежности работы калориферов и всего подъемно-стволового комплекса. В таблице приведены значения зафиксированных минимумов (замеры производились в январе, в том числе и при нарушениях теплового режима) и максимумов (в июле, августе) температур, которые встретились при наблюдении за температурным режимом в ствалах Донбасса в период 1995–2006 гг.

Как следует из таблицы, экстремальные температурные колебания существенно превосходят средние [2, 3], поэтому темпе-



**Рис. 1. Графики зависимости амплитуд среднемесячных  $\Delta T_{cp}$  и экстремальных  $\Delta T_e$  температур от глубины ствола H**

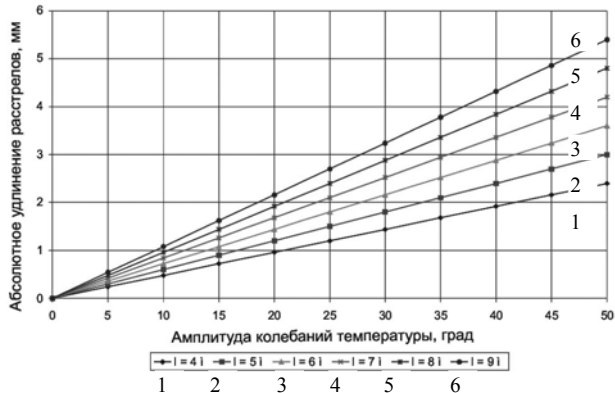
**Рис. 2. Графики зависимости абсолютного удлинения расстрелов от амплитуды колебаний температуры конструкций**

ратурные нагрузки на конструкции армировки должны учитывать возможность возникновения подобных аномальных тепловых режимов.

Произведем сравнение и найдем зависимости амплитуд средних и экстремальных температур от глубины ствола (рис. 1).

Исследования показывают, что амплитуды колебаний температуры (как средних значений, так и экстремальных) резко и нелинейно снижаются на первых 50 м от устья ствола, после чего снижение становится более медленным и линейным. В общем виде зависимости  $\Delta T_{cp} = f(H)$  и  $\Delta T_s = f(H)$  могут быть выражены в виде сплайн-функций, состоящих из полинома 3-го порядка (на отрезке 0–50 м) и линейной функции (в интервале свыше 50 м):

- для амплитуд, рассчитанных по среднемесячным температурам



$$\Delta T_{cp} = \begin{cases} -1 \cdot 10^{-4} H^3 + 1,9 \cdot 10^{-2} H^2 - \\ -0,858H + 31,12, & \forall H \in [0, 50] \\ -9,4 \cdot 10^{-3} H + \\ +17,17, & \forall H \in (50, 1000) \end{cases} \quad (1)$$

– для амплитуд, рассчитанных по экстремальным (пиковым) температурам:

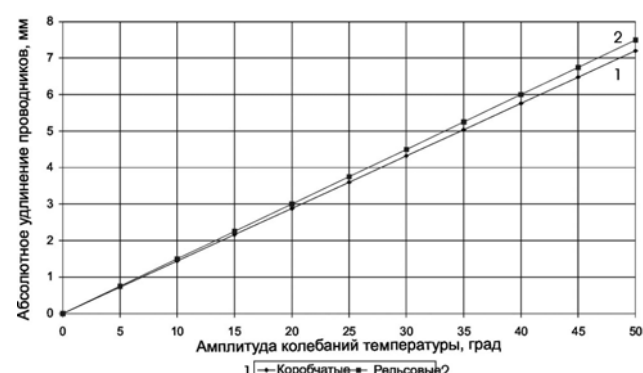
$$\Delta T_s = \begin{cases} -2 \cdot 10^{-4} H^3 + 3 \cdot 10^{-2} H^2 - \\ -1,392H + 50,25, & \forall H \in [0, 50] \\ -1,07 \cdot 10^{-2} H + \\ +27,6, & \forall H \in (50, 1000) \end{cases} \quad (2)$$

Полученные зависимости с высокой степенью точности отражают результаты исследований, коэффициент корреляции для уравнений (1) и (2) находится в пределах  $R^2 = 0,96 – 0,99$ .

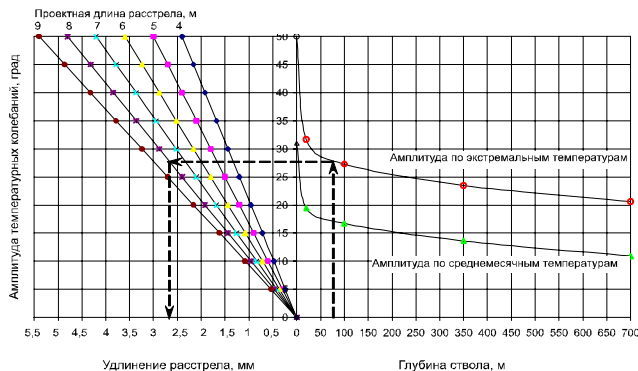
Согласно закону линейного расширения, при повышении температуры длина твердых тел возрастает в первом приближении линейно с температурой:

$$l = l_0 (1 + \alpha t),$$

где  $l$  – длина тела при температуре  $t$ , м;  $l_0$  – его длина при температуре  $t_0 =$



**Рис. 3. Графики зависимости абсолютного удлинения проводников от амплитуды колебаний температуры конструкций**



**Рис. 4. Номограмма для определения удлинения расстрела в зависимости от глубины ствола и проектной длины расстрела**

0°C,  $\alpha$  – температурный коэффициент линейного расширения, для стали  $\alpha = 1,2 \cdot 10^{-5} 1/\text{°C}$ . Для твердых изотропных тел  $\alpha = b/3$ , где  $b$  – температурный коэффициент объемного расширения, 1/°C.

Исследуем, как влияет амплитуда колебаний в ствалах на изменение длины элементов армировки. Для этого построим графики зависимости удлинения расстрелов и проводников от амплитуды температурных колебаний и начальной длины элементов армировки (рис. 2 и 3).

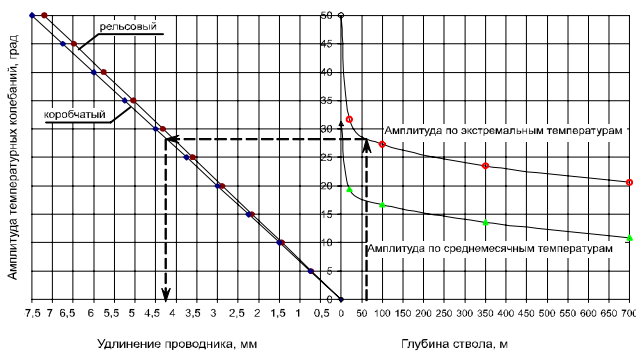
На основании графиков (рис 2 и 3) и данных об изменении средних и экстремальных температур и их амплитуд в течение года на разных глубинах (таблица и результаты исследований [2, 3]) построим номограммы для определения максимальных удлинений элементов армировки (равных необходимым температурным зазорам) в зави-

симости от глубины ствола и длины расстрелов (рис. 4) или профиля проводника (рис. 5).

При определении величины температурного зазора между проводниками или величины удлинения и необходимой податливости расстрела важно знать не среднемесячные значения температуры и их амплитуды в течение года, а максимальные колебания температуры в течение года на разных глубинах, равные абсолютной разности между наблюдаемыми в течение года максимальным и минимальным пиками температур на соответствующих глубинах. Значения таких «экстремальных» температур, в том числе возникающих вследствие нарушения работы калориферов, приведены в таблице.

По результатам исследований можно сделать следующие выводы:

1. При возникновении аварий в работе калориферов нарушается тепловой режим, при этом в ствалах наблюдаются отрицательные температуры (от -14°C на нулевой раме до 0°C на глубине 350–400 м). В этих случаях зафиксировано обледенение крепи стволов до глубины 200 м (в Российском



**Рис. 5. Номограмма для определения удлинения проводников в зависимости от глубины ствола и профиля проводника**

Донбассе) и до 400 м (в Украинском Донбассе).

2. Амплитуды сезонных колебаний температуры (как средних значений  $\Delta T_{\text{ср}}$ , так и экстремальных  $\Delta T_s$ ) резко и нелинейно снижаются на первых 50 м от устья ствола, после чего снижение становится более медленным и линейным. В общем виде зависимости  $\Delta T_{\text{ср}} = f(H)$  и  $\Delta T_s = f(H)$  могут быть выражены в виде сплайновых функций, состоящих из полинома 3-го порядка (на отрезке 0 – 50 м) и линейной функции (в интервале выше 50 м).

3. На жесткую армировку воздухоподающих стволов оказывают вли-

яние сезонные перепады температур, которые вызывают изменение длины расстрелов и проводников. Удлинение (укорочение) расстрелов при экстремальных температурных перепадах может достигать 5,5 мм, а проводников – 7,5 мм и определяться по номограмме в зависимости от глубины ствола и проектной длины расстрела (типа профиля) проводника.

4. Величиной возможного изменения длины элементов армировки определяется необходимый температурный зазор на стыках проводников или дополнительная величина податливости расстрелов.

#### СПИСОК ЛИТЕРАТУРЫ

1. Правила безопасности в угольных шахтах. – Самара: Самарск. дом печати, 1995. – 242 с.
2. Вяльцев М.М. Прогноз и регулирование термонапряженного состояния горных выработок. – М.: Недра, 1988. – 200 с.
3. Богомазов А.А. Исследование температурного режима вертикальных стволов Донбасса и его влияния на жесткую армировку// Научно-технические проблемы разработки месторождений по-лезных ископаемых, шахтного и подземного строительства: сб. науч. тр. – Новочеркасск: УПЦ «Набла» ЮРГТУ(НПИ), 2006. – С. 256 – 269.
4. Гамаюнов В.В., Будник А.В. Основные виды и причины нарушений крепи вертикальных стволов угольных шахт// Технология и проектирование подземного строительства: Вестник. – Донецк: Норд-Пресс, 2003. – С. 91 – 97.
5. Архив погодных условий. – <http://meteo.infospace.ru> ГИАЭ

#### Коротко об авторах

Страданченко С.Г. – доктор технических наук, профессор, директор Шахтинского института Южно-Российского государственного технического университета, зав. кафедрой «Подземное, промышленное, гражданское строительство и строительные материалы», г. Шахты, Россия.

Прокопов А.Ю. – кандидат технических наук, доцент, заместитель директора Шахтинского института Южно-Российского государственного технического университета по образовательной и научной деятельности, доцент кафедры «Подземное, промышленное, гражданское строительство и строительные материалы», г. Шахты, Россия, prokopov72@rambler.ru.

Богомазов А.А. – ассистент кафедры «Подземное, промышленное, гражданское строительство и строительные материалы» Шахтинского института ЮРГТУ(НПИ) г. Шахты, Россия, siurgtu@siurgtu.ru